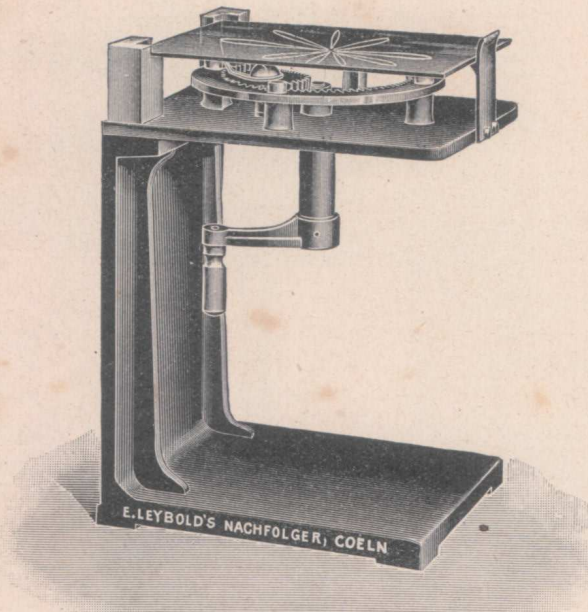
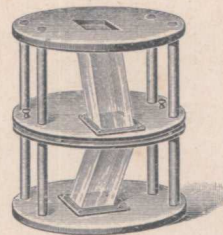


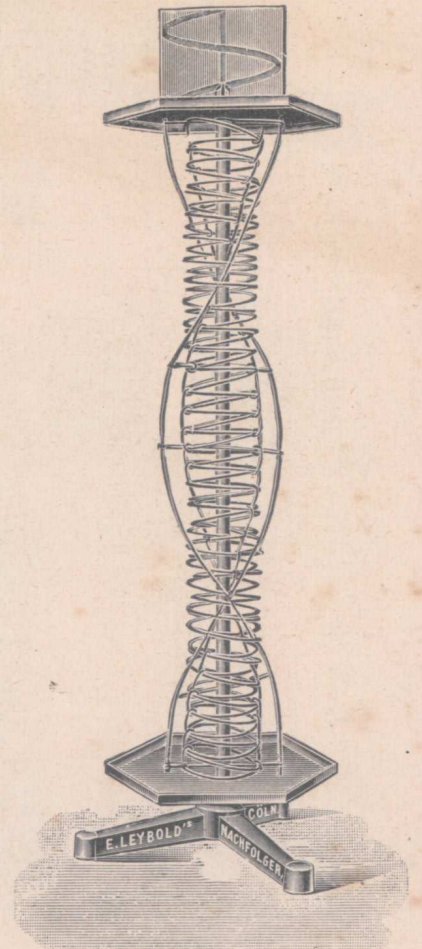
5106.



5110.



5109.



5107.

5105. **Seis modelos de cristales**, de madera: Tartrato sódico-amónico dextrogiro; el mismo levogiro; bimalato amónico, dextrogiro; el mismo levogiro; cuarzo dextro y levogiro. Tamaño unos 10 cm. Todos reunidos . . . . .

Francos

57.—

5106. **Aparato para representar la rotación del plano de polarización en una solución de azúcar.** [Fig] . . . . .

42.—

5107. **Modelo para mostrar la rotación del plano de polarización en el cuarzo y en una solución de azúcar.** [Fig.  $\frac{1}{7}$  del tamaño natural.] . . . . .

90.—

Este modelo pone de manifiesto la descomposición de una onda polarizada en un plano, en dos ondas polarizadas circularmente dextro y levogiras, que poseen distinta velocidad de propagación. Una de las ondas está retrasada respecto de la otra, en una longitud completa. La onda polarizada resultante está representada en todos los puntos, de modo que puede reconocerse la trayectoria de un plano de polarización que ha girado  $360^\circ$ , á lo largo de todo el cristal.

5108. **Paralelepípedos de Fresnel**, para obtener luz polarizada circularmente de la polarizada linealmente y viceversa . . . . . El par

30.—

5109. — con montura de latón. [Fig.  $\frac{2}{5}$  del tamaño natural.] . . . . .

60.—

5110. **Aparato de Weinhold para explicar el efecto de Zeemann.** [Fig.  $\frac{1}{3}$  del tamaño natural.]

54.—

Moviendo la manecilla del aparato y colocando la punta inscriptora sobre la lámina de vidrio ahumada aquella describe el camino seguido por un electrón que vibre á lo largo de una recta, sin influencia externa, pero desviado por un campo magnético perpendicular á la dirección del movimiento, vibra en sentido perpendicular al campo y á la misma dirección del movimiento. Las líneas